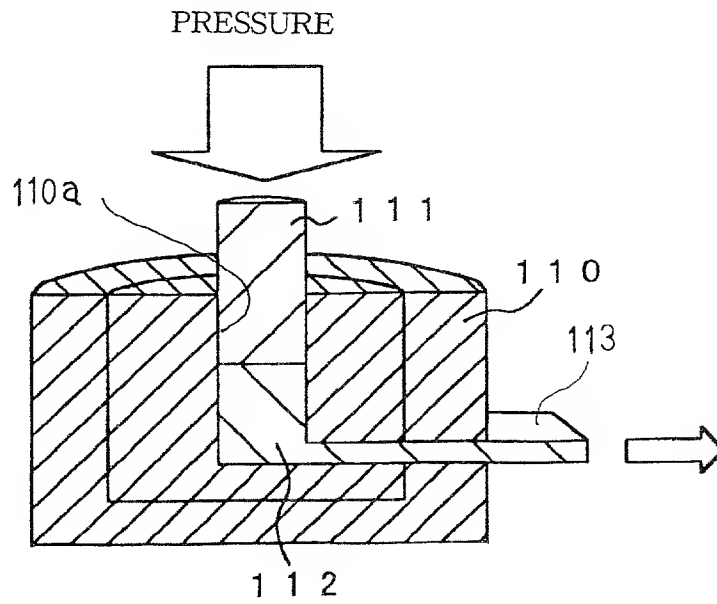


Fig. 1B PRIOR ART



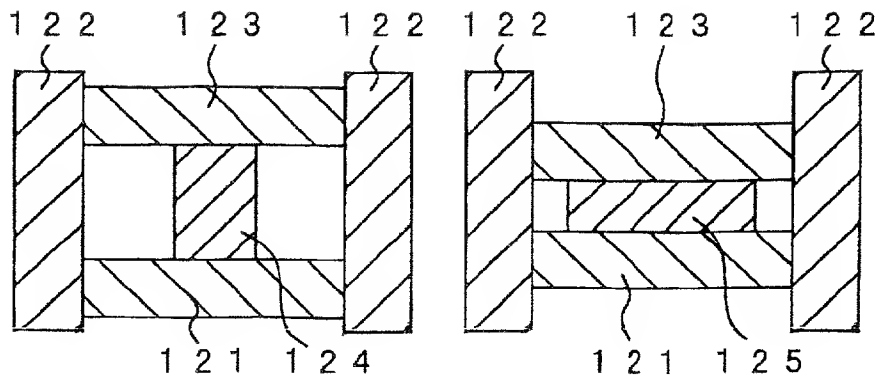


Fig. 3A
PRIOR ART

Fig. 3B
PRIOR ART

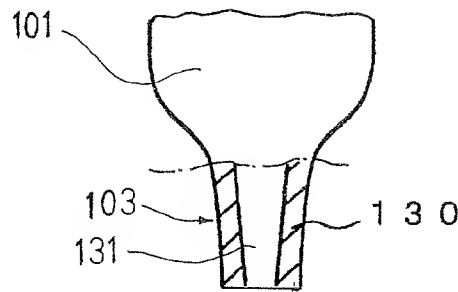


Fig. 4A
PRIOR ART



Fig. 4B
PRIOR ART

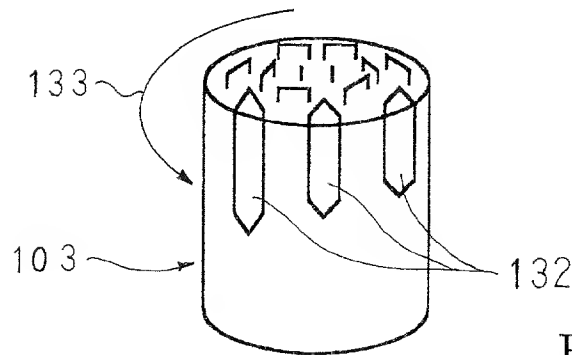


Fig. 4C
PRIOR ART

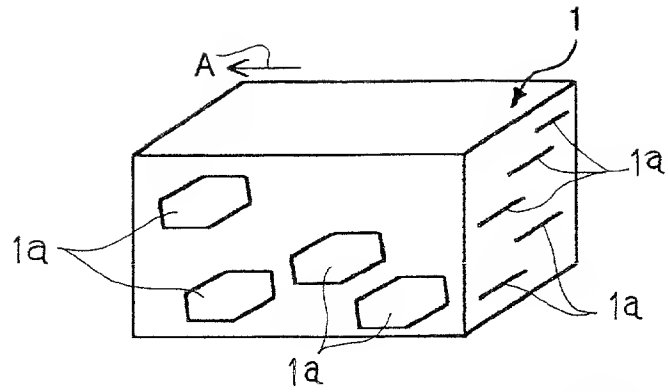


Fig. 5

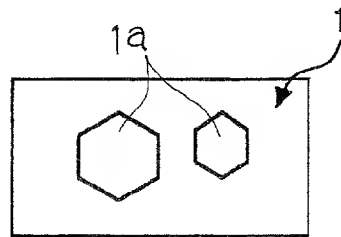


Fig. 6

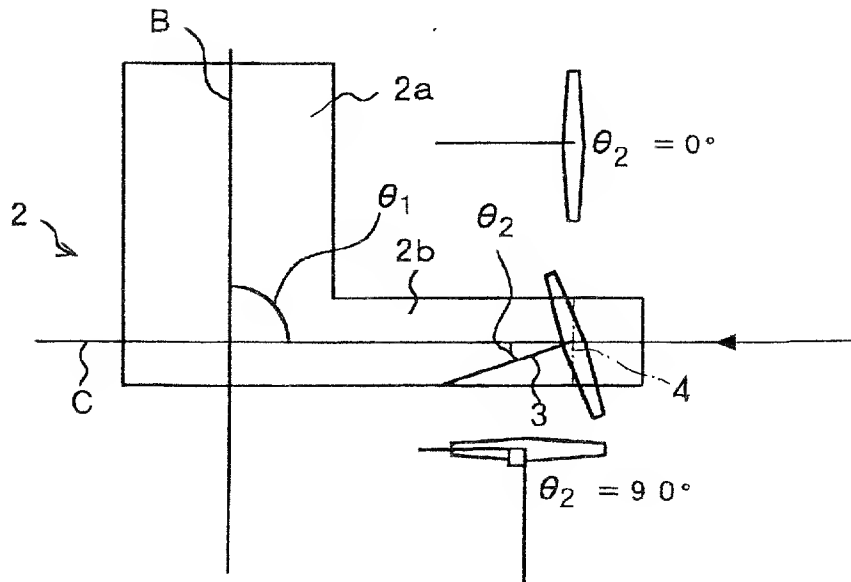


Fig. 7

Publ. No. 5999566

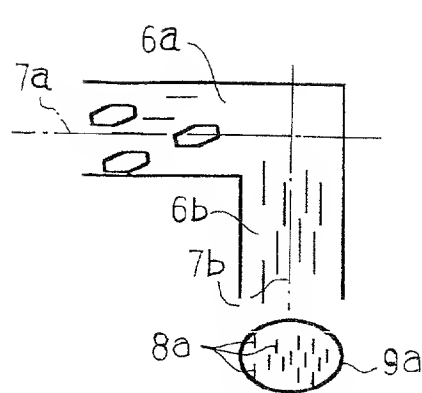


Fig. 8A

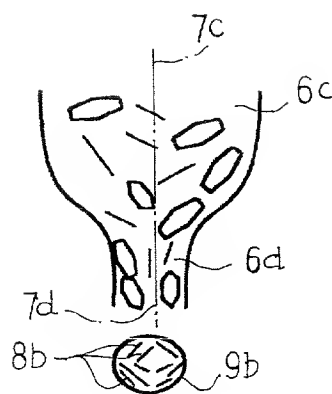


Fig. 8B
PRIOR ART

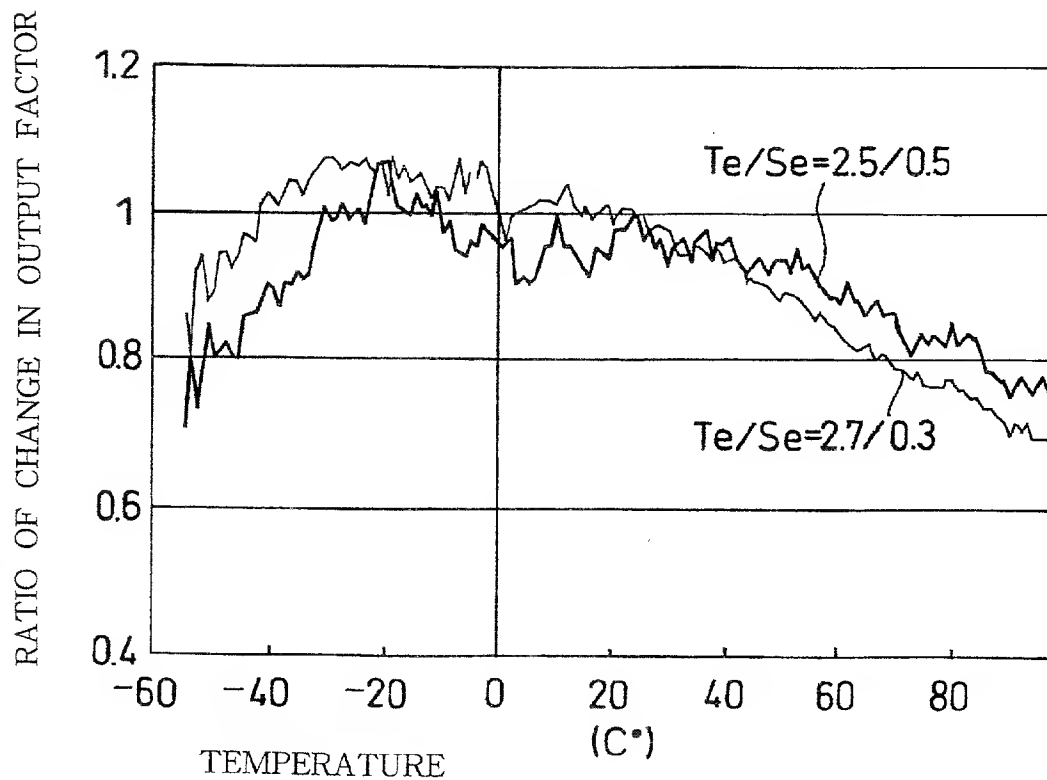


Fig. 9

FIG. 10A

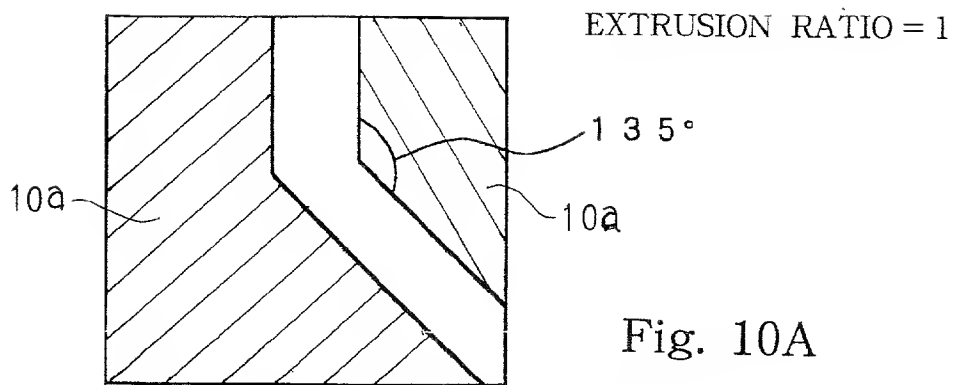


Fig. 10A

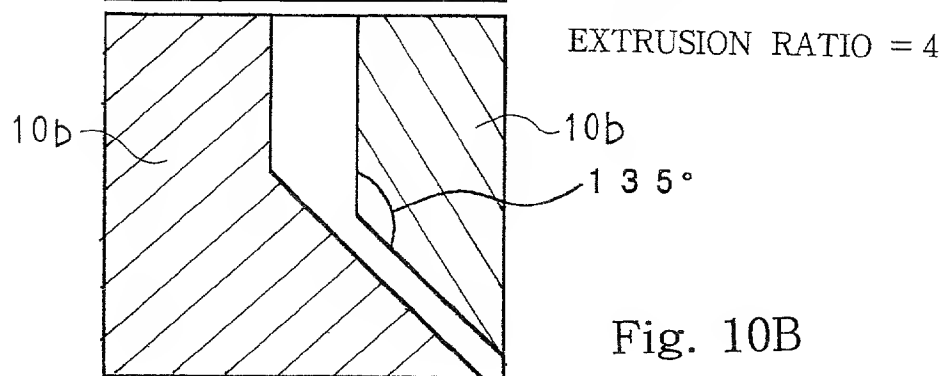


Fig. 10B

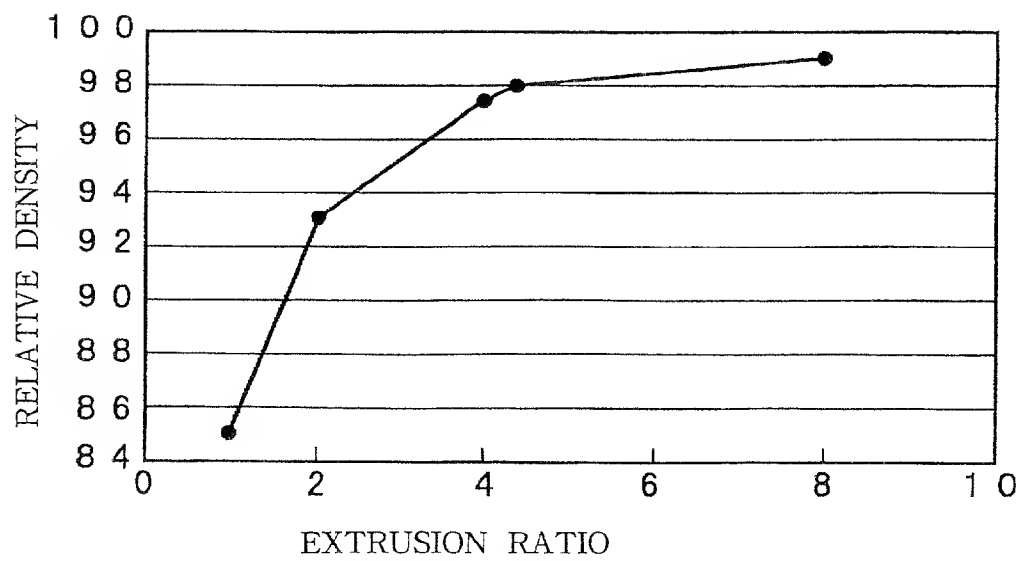


Fig. 11

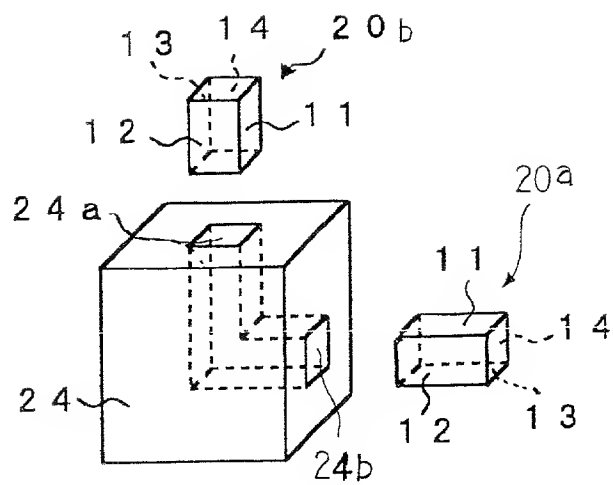


Fig. 12A

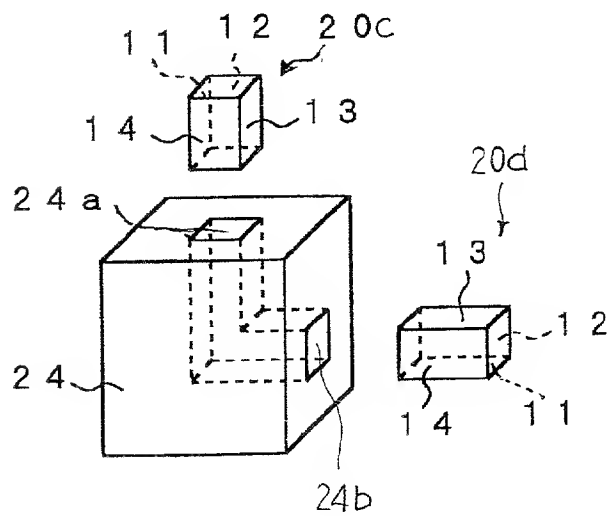


Fig. 12B

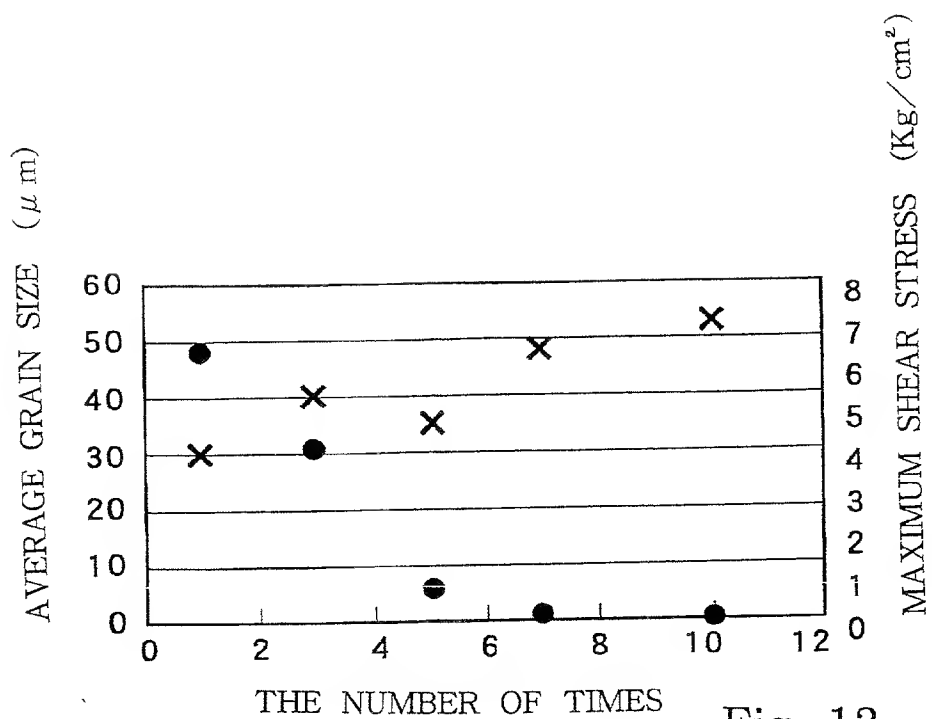


Fig. 13

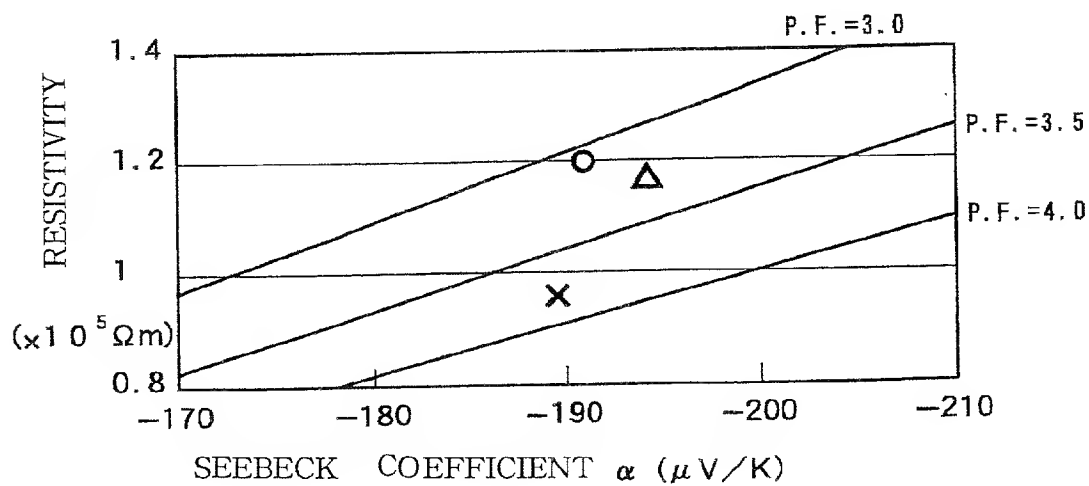


Fig. 14

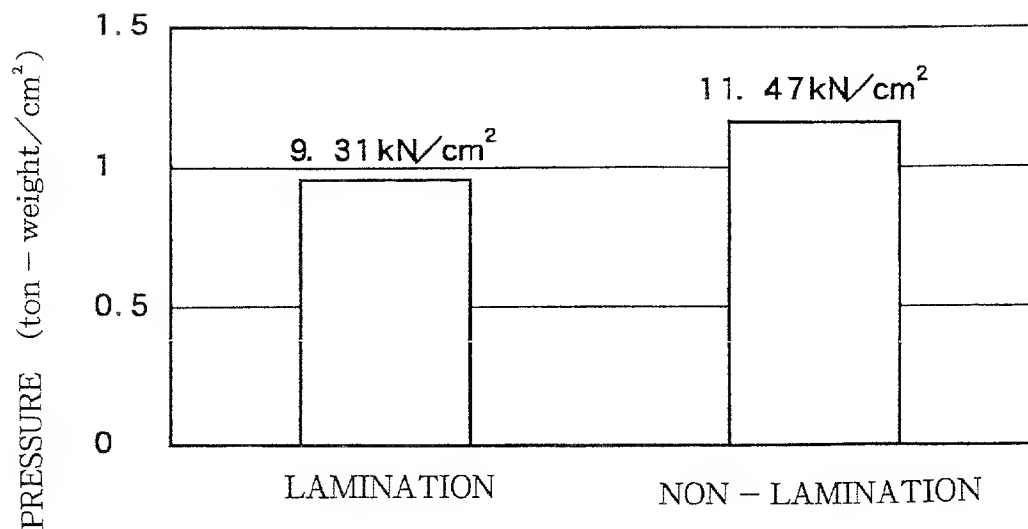


Fig. 15

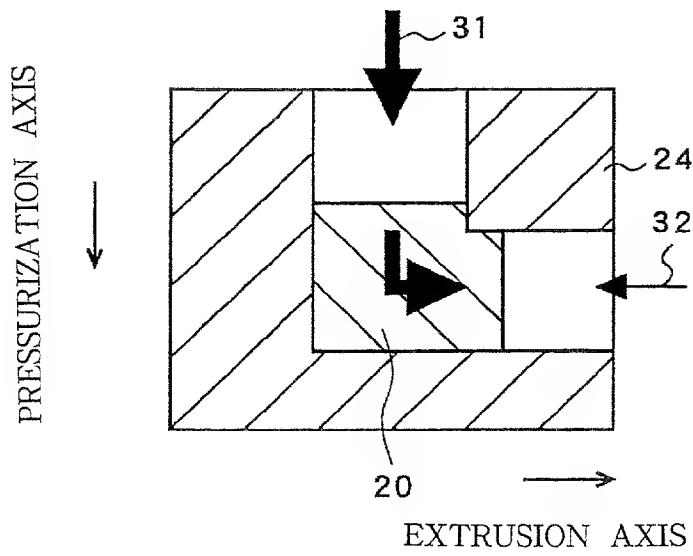


Fig. 16

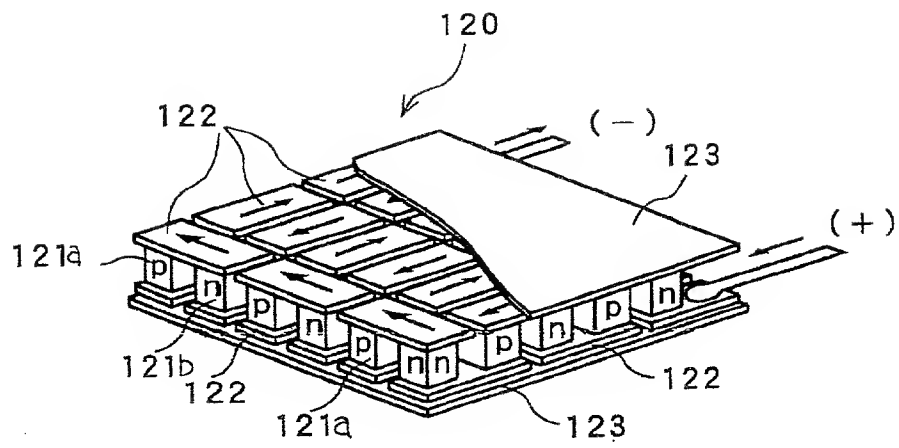


Fig. 17

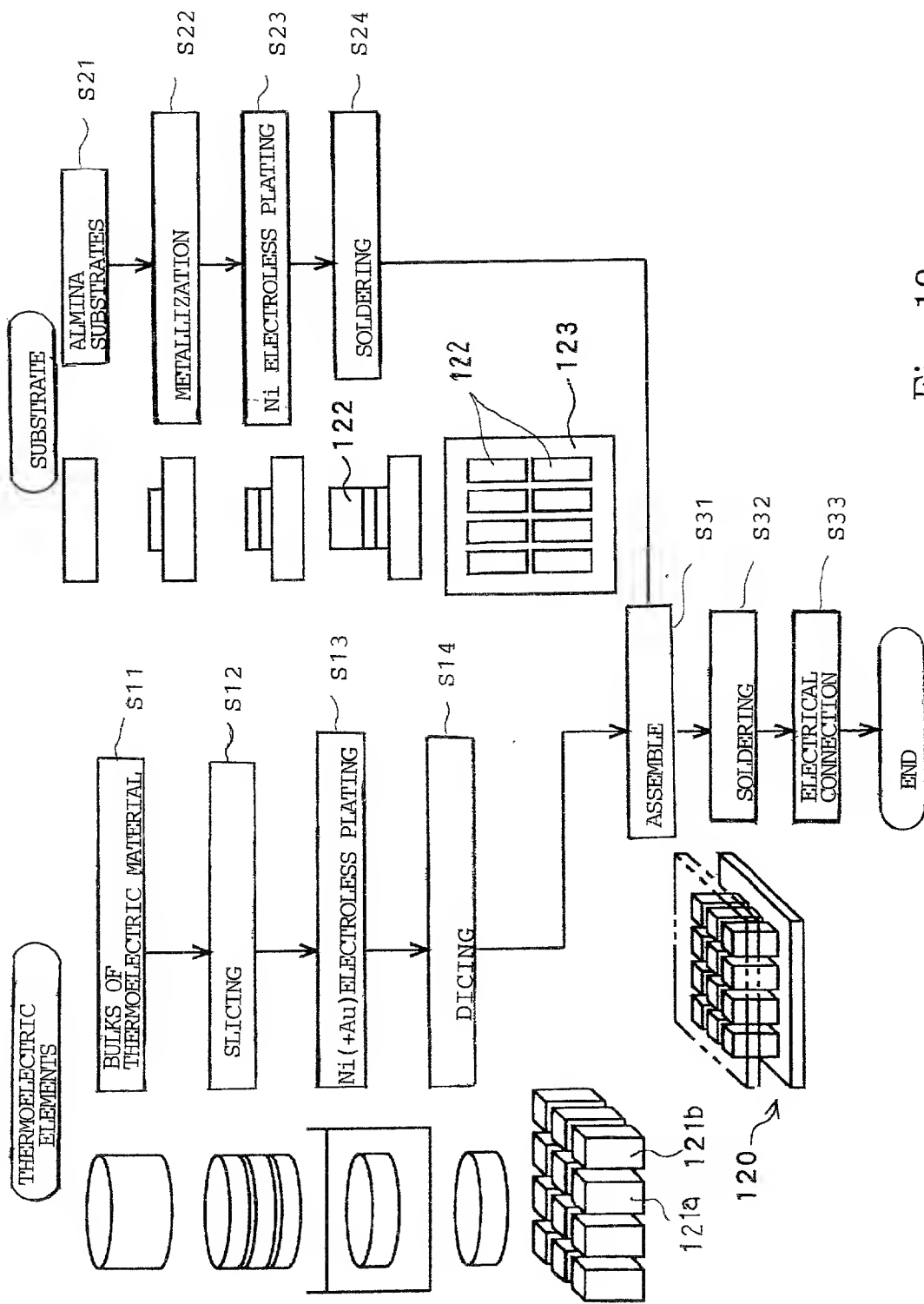


Fig. 18

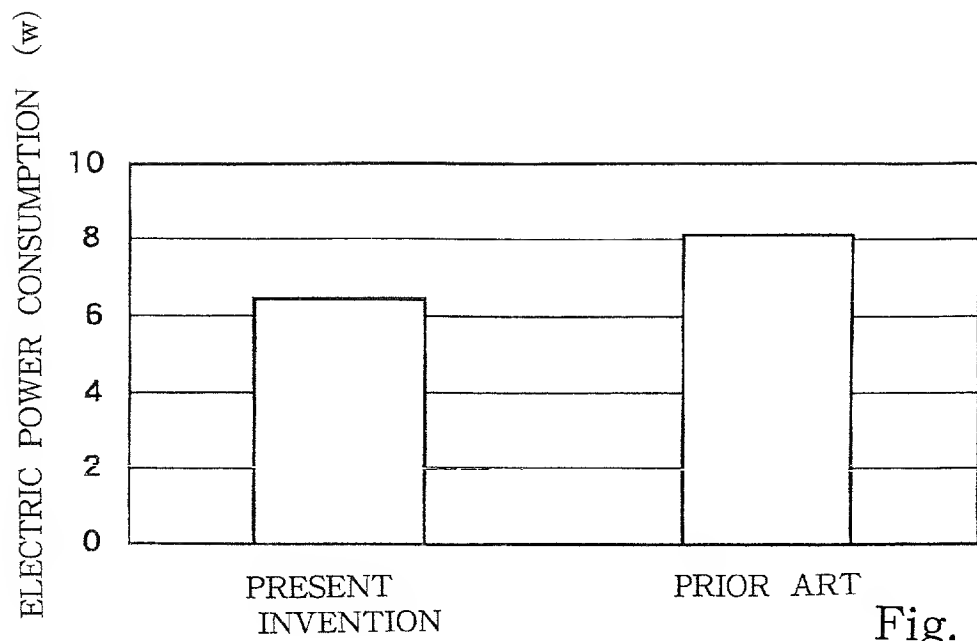


Fig. 19

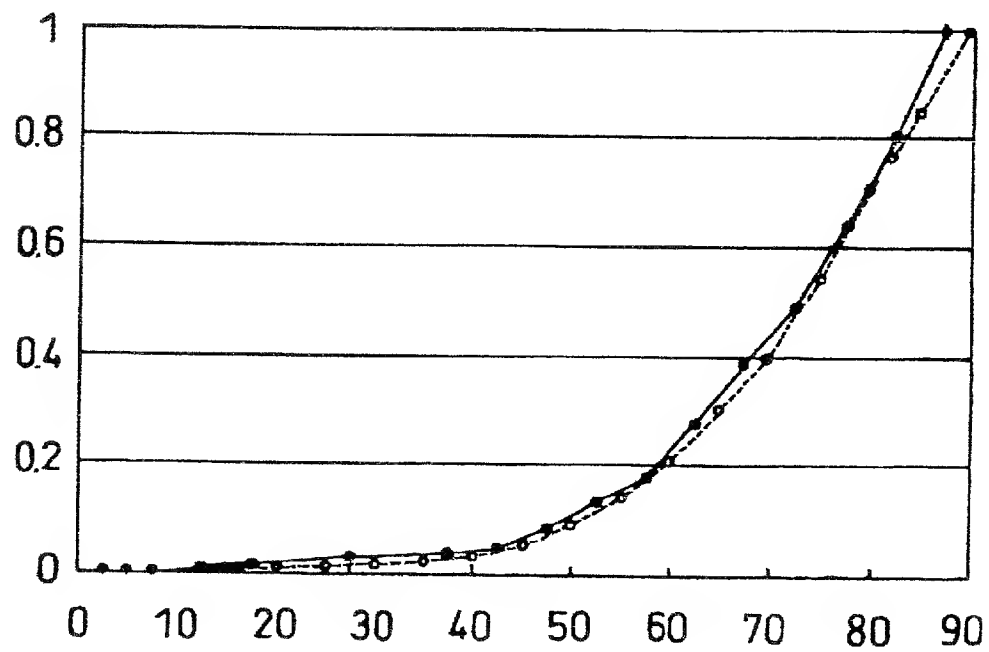


Fig. 20